

M.V.Mataušek
I.Zmijarević

Institut za nuklearne nauke "Boris Kidrič" - Vinča
OOUR Institut za nuklearnu energetiku i tehničku fiziku "NET"

REFERAT

**SPLET - PROGRAM ZA ODREĐIVANJE PROSTORNO-LETARGIJSKE
RASPODELE EPITERMALNIH NEUTRONA U ĆELIJI REAKTORSKE REŠETKE**

**SPLET - A PROGRAM FOR CALCULATING THE SPACE-LETHERGY
DISTRIBUTION OF EPITHERMAL NEUTRONS IN A REACTOR LATTICE CELL**

SADRŽAJ - Postupak rešavanja prostorno-ugaono-letargijski zavisne jednačine transporta epitermalnih neutrona u cilindrizovanoj ćeliji reaktorske rešetke razvijen je i predložen u ranijim radovima. Ovde je rezimiran računski algoritam i opisan je program SPLET koji računa prostorno-letargijsku raspodelu ugaonih momenata neutronskog fluksa, kao i odgovarajuće integralne veličine kao što su iznosi reakcija datog tipa i rezonantni integrali.

ABSTRACT - A procedure to solve the space-angle-lethargy dependent transport equation for epithermal neutrons in a cylindicalized multiregion reactor lattice cell has been developed and proposed in the earlier papers. Here, the computational algorithm is comprised and the computing program SPLET, which calculates the space - lethargy distribution of the spherical harmonics neutron flux moments, as well as the related integral quatities as reaction rates and resonance integrals, is described.

1. UVOD

Postupak određivanja detaljne prostorno-letargijske raspodele epitermalnih neutrona u cilindrizovanoj višezonoj ćeliji rešetke reaktora predložen je i razvijen u ranijim radovima /1,2/. Problem usporavanja neutrona formulisan je u vidu prostorno-ugao-no-letargijski zavisne integro-diferencijalne Boltzmanove jednačine, a anizotropija neutronskog fluksa je tretirana u P-3 aproksimaciji metode sfernih harmonika /3/. Šest postojećih, u posmatranoj geometriji, momenata neutronskog fluksa smatrani su komponen-

tama vektorske funkcije fluksa koja zadovoljava matričnu integro-diferencijalnu jednačinu šestog reda, po prostornoj i letargijskoj promenljivoj.

Da bi se rešila ova jednačina, uz odgovarajuće granične i počatne uslove, prvo je integral po letargiji aproksimiran svojim konačno-diferencnim oblikom. Na taj način dobijen je sistem običnih matričnih diferencijalnih jednačina po prostornoj koordinati, sa koeficijentima koji zavise od prostorne koordinate i letargije. Aproksimirajući na podesan način desnu stranu ovih jednačina, izvedeno je zatim aproksimativno analitičko rešenje za prostornu zavisnost vektora fluksa u posmatranoj letargijskoj tački. Takođe su izvedene rekurentne relacije za vektor fluksa u uzastopnim letargijskim tačkama. Postupak je numerički ispitana i dokazana u radu /2/. Kasnije je postupak dopunjena i proširena /4/. Izvedene su rekurentne relacije za faktore koji rezultuju iz numeričkog tretmana integrala po letargiji, i to posebno za brzu a posebno za rezonantnu oblast. Sprovedena je kondenzovana matrična formulacija algoritma. Takođe je predložen efikasan postupak rešavanja sistema algebarskih jednačina, kojima se iskazuju granični uslovi po prostornoj koordinati. Ovaj postupak bazira na podesnom razbijanju matrice koeficijenata na blokove.

U ovom radu sumiran je računski algoritam i opisan je program SPLET /5/, koji računa prostorno-letargijsku raspodelu ugaonih momenata neutronskog fluksa, kao i odgovarajuće integralne veličine - iznose reakcija datog tipa, grupne vrednosti efikasnih preseka i rezonantne integrale.

2. REZIME RAČUNSKOG ALGORITMA

Neka je data cilindrizovana celija reaktorske rešetke, sačinjena od P ($p=1, 2, \dots, P$) materijalnih zona, spoljašnjeg radijusa r_p ($r_0 = 0$, $r_p = R$). Pretpostavimo da je svaka materijalna zona podeljena na Q_p podzona spoljašnjeg radijusa r_q ($q_p = 1, 2, \dots, Q_p$; $r_{Q_p} = r_p$). Pretpostavimo zatim da je posmatrani interval letargije (u_{\min}, u_{\max}) podeljen na veliki broj, N , podjednako udaljenih letergijskih tačaka u_n . Aproksimativno analitičko rešenje za vektor čiji su elementi prostorno i letargijski zavisni momenti neutronskog fluksa je:

$$\underline{E}_{n,q_p}^j(r) = \underline{E}_{q_p}^j(r, u_n) = \underline{\theta}_{n,p}(r) \underline{x}_{n,q_p}^j + \underline{\Sigma}_{o,n,p}^j / \Sigma_{o,n,p}$$

za $r_{q_p-1} \leq r \leq r_{q_p}$, $q_p = 1, 2, \dots, Q_p$, $p = 1, 2, \dots, P$ i

$$n = 1, 2, \dots, N; \quad \underline{E} = (1 \ 0 \ 0 \ 0 \ 0 \ 0)^T. \quad (1)$$

Ovde j označava korak iteracije, jer se u opštem slučaju kada posmatrani letargijski opseg obuhvata i brzu i rezonantnu oblast problem mora rešavati iterativno. Matrice $\underline{\theta}_{n,p}(r)$ zavise od nuklearnih karakteristika zone p i imaju sledeći oblik

$$\underline{\theta}_{n,1}(r) = (\underline{a}_{n,1}^1 \quad \underline{a}_{n,1}^2 \quad \underline{a}_{n,1}^3), \quad (2)$$

$$\underline{\theta}_{n,p}(r) = (\underline{a}_{n,p}^1 \quad \underline{a}_{n,p}^2 \quad \underline{a}_{n,p}^3 \quad \underline{b}_{n,p}^1 \quad \underline{b}_{n,p}^2 \quad \underline{b}_{n,p}^3),$$

$$p = 2, 3, \dots, P, \quad (3)$$

gde su $\underline{a}_{n,p}^k$ i $\underline{b}_{n,p}^k$ vektori kolone šestog reda.

Veličina $\underline{\gamma}_{n,p}^j$ je vrednost integrala po letargiji i spoljašnjeg izvora neutrona izračunata u iteracionom koraku j, letargijskoj tački u_n i podzoni q_p :

$$\underline{\gamma}_{n,q_p}^j = \underline{\gamma}_{se,n,q_p}^j + \underline{\gamma}_{si,n,q_p}^j + \underline{\gamma}_{f,n,q_p}^j + \underline{\bar{s}}_{n,q_p}^j \quad (4)$$

gde su $\underline{\gamma}_{se,n,q_p}^j$, $\underline{\gamma}_{si,n,q_p}^j$ i $\underline{\gamma}_{f,n,q_p}^j$ srednji prinosi neutrona letargije u_n u podzoni q_p od elastičnog rasejanja, neelastičnog rasejanja i fisije, respektivno, a $\underline{\bar{s}}_{n,q_p}^j$ je spoljašnji izvor neutrona letargije u_n usrednjen po zapremini podzone q_p . Detaljni izrazi za veličine $\underline{\theta}_{n,p}$, jedn.(2) i (3), $\underline{\gamma}_{n,q_p}^j$, jedn.(4), i efektivni efikasni presek $\Sigma_{o,n,p}$, jedn.(1), dati su u radu /4/.

U jedn.(1), \underline{x}_{n,q_p}^j je vektor čiji su elementi nepoznate integracione konstante. Da bi se odredila prostorno-letargijska raspodela vektora momenata neutronskog fluksa, $\underline{F}(r, u)$, nepoznate integracione konstante treba odrediti rešavanjem sistema od $6Q-3$ algebraške jednačine ($Q = \sum_p Q_p$) kojima su iskazani uslovi kontinuiteta momenata fluksa na granicama izmedju podzona i granični uslovi, i to za svaku letergijsku tačku u_n i u svakom koraku j iteracionog

postupka, ukoliko se problem mora rešavati iterativno. Uslov kontinuiteta momenata neutronskog fluksa na granicama izmedju zona i podzona daje 60-6 algebarskih jednačina:

$$\underline{\theta}_{n,q_p} (r_{q_p}) \underline{x}_{n,q_p}^j + E \frac{\gamma_{n,q_p}^j}{\sum_{o,n,q_p}} = \underline{\theta}_{n,q_p+1} (r_{q_p}) \underline{x}_{n,q_p+1}^j + E \frac{\gamma_{n,q_p+1}^j}{\sum_{o,n,q_p+1}}$$

za $q_p = 1, 2, \dots, Q_p$, $p=1, 2, \dots, P-1$ i $q_p = 1, 2, \dots, Q_p - 1$. (5)

Na efektivnoj granici reaktorske čelije, tj. za $r=r_{Q_p}=r_p=R$ uslov da gradijent skalarnog neutronskog fluksa i neutronska struja postaju jednaki nuli daje još 3 algebarske jednačine:

$$\underline{n}_n \underline{x}_{n,Q_p}^j = 0 , \quad (6)$$

gde je \underline{n}_n matrica reda (3×6) za čije elemente su detaljni izrazi dati u radu /4/. Iz sistema jednačina (5)-(6) sledi:

$$\underline{x}_{n,1}^j = \sum_{q=1}^{Q-1} \left(\frac{\gamma_{n,q+1}^j}{\sum_{o,n,q+1}} - \frac{\gamma_{n,q}^j}{\sum_{o,n,q}} \right) \xi_{n,q}, \quad (7)$$

$$\underline{x}_{n,q}^j = \underline{\psi}_{n,q-1} \underline{x}_{n,q-1}^j - \left(\frac{\gamma_{n,q}^j}{\sum_{o,n,q}} - \frac{\gamma_{n,q-1}^j}{\sum_{o,n,q-1}} \right) \xi_{n,q}, \quad (8)$$

$$q = 2, 3, \dots, Q,$$

gde je q opšta oznaka za zonu ili podzonu.

Ovde je

$$\xi_{n,q} = [\underline{\theta}_{n,q} (r_{q-1})]^{-1} E, \quad q=2, 3, \dots, Q; \quad (9)$$

$$\underline{\psi}_{n,q} = [\underline{\theta}_{n,q+1} (r_q)]^{-1} \underline{\theta}_{n,q} (r_q), \quad q=1, 2, \dots, Q-1, \quad (10)$$

$$\xi_{n,1} = [\lambda_{n,1} \underline{\theta}_{n,1} (r_1)]^{-1} \underline{\lambda}_{n,1} E, \quad q = 1, 2, \dots, Q-1, \quad (11)$$

gde je:

$$\lambda_{n,Q-1} = - \underline{u}_{n,Q} [\underline{\theta}_{n,Q}(r_{Q-1})]^{-1}, \quad (12)$$

$$\lambda_{n,q} = \lambda_{n,q+1} \underline{\theta}_{n,q+1}(r_{q+1}) [\underline{\theta}_{n,q+1}(r_q)]^{-1}, \\ q = Q-2; Q-3, \dots, 2, 1. \quad (13)$$

Važno je uočiti da se vektori $\underline{\xi}_{n,q}$ i $\underline{\psi}_{n,q}$ i matrica $\underline{\theta}_{n,q}$ ne menjaju u toku iterativnog rešavanja.

3. OPIS PROGRAMA SPLET

Program SPLET programiran je za računar CDC 3600 u FORTRAN IV jeziku. Kao ulazne podatke koristi geometrijske i materijalne karakteristike čelija reaktorske rešetke i letargijski zavisne efikasne preseke za nuklide koji ulaze u sastav posmatrane čelije. Detaljni opis ulaza dat je u radovima /5/ i /6/. Organizacija programa prikazana je na slici 1.

Za datu reaktorsku čeliju i interval letargije prvo se na osnovu nuklearnih karakteristika materijala, koji ulaze u sastav čelije, određuju poluprečnici podzona r_q , ukupni broj zona i podzona Q i letargijske tačke u_n . U brzoj oblasti, $u_{\min} \leq u \leq u_f$, u kojoj se moraju uzeti u obzir i efekti brze fisije, problem se rešava iterativno. Za započinjanje iterativnog postupka pretpostavlja se da je skalarni neutronski fluks prostorno ravan i da ima istu letargijsku raspodelu kao fisioni spektar. Za sve letargijske tačke u_n u brzoj oblasti, tj. za $u_{\min} \leq u_n \leq u_f$, program prvo računa matrice i vektore koji se ne menjaju u toku iterativnog postupka. To su veličine $\underline{\xi}_{n,q}$, $\underline{\psi}_{n,q}$ i $\underline{\theta}_{n,q}$, definisane jednačinama (9)-(13), (2), (3) i (6). Iterativni postupak sastoji se od ponovljenog računanja veličina $\gamma_{n,q}^j$, $\underline{x}_{n,q}^j$ i $\underline{F}_{n,q}^j(r)$, prema jednačinama (4), (7)-(8) i (1).

Pošto se završi proračun za $u \leq u_f$, i ako je $u_{\max} > u_f$, vrši se neiterativni proračun za letargijske tačke $u_f < u_n \leq u_{\max}$, koristeći rezultate iterativnog tretmana kao početni uslov po letargiji. Ovde se veličine $\underline{\xi}_{n,q}$, $\underline{\psi}_{n,q}$ i $\underline{\theta}_{n,q}$ ne memoriraju već se računaju sukcesivno, uporedno sa veličinama $\gamma_{n,q}^j$, $\underline{x}_{n,q}^j$ i $\underline{F}_{n,q}^j(r)$. Isti neiterativni tretman primenjuje se odmah ukoliko je $u_{\min} > u_f$. U tom slučaju može se prepostaviti da je za $u < u_{\min}$ skalarni neu-

tronski fluks prostorno ravan i da ne zavisi od letargije.

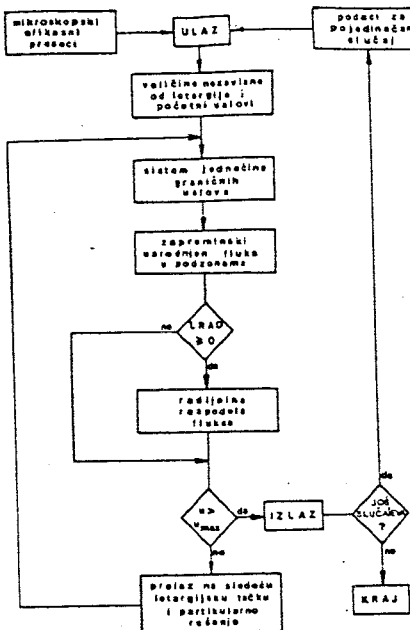
Ukoliko se to posebno zahteva, izlaz počinje štampanjem ulaznih podataka, za svaki pojedinačni slučaj počinje štampanjem glavnog naslova i promenjivog naslova koji zadaje korisnik. Zatim, slede opšti podaci o posmatranom opsegu letargije, odnosno energije, ukupnom broju letargijskih integracionih tačaka, ukupnom broju zona i podzona, kao i poluprečnici podzona.

za svaku i -tu (i specificira korisnik) letargijsku tačku program daje odgovarajuću vrednost energije, makroskopske efikasne preseke za pojedine materijalne zone i vrednosti skalarnog neutronskog fluksa usrednjene po zapremini pojedinih podzona. Za određene vrednosti letargije, odnosno energije, specificirane na ulazu, program daje detaljnu radijalnu raspodelu skalarnog fluksa u onoliko tačaka koliko to korisnik želi. Pri štampanju radijalne raspodele fluksa, granične vrednosti pojavljuju se dva puta. Kontinualnost momenata neutronskog fluksa, koja se tako uočava, predstavlja evidentni test tačnosti proračuna.

Izlaz se završava štampanjem integralnih veličina kao što su iznosi reakcija u pojedinim zonama, grupne konstante za jedine materijale i rezonantni integrali. Jedan primer ulaza dat je na slici 2. Odgovarajući izlaz prikazan je na slici 3.

4. REFERENCE

1. M.V.Mataušek, "Usporavanje neutrona u rezonantnoj oblasti", Zbornik radova sa XV jugoslovenske konferencije ETAN-a (1971).
2. M.V.Mataušek, "Spherical Harmonics Treatment of Epithermal Neutron Spectra in Reactor Lattices", Nucl.Sci.Eng. 49, 49 (1972).
3. B.Davison, "Neutron Transport Theory", Oxford University Press, London (1958).
4. M.V.Mataušek, "On the Spherical Harmonics Treatment of Epithermal Neutron Spectra in Reactor Lattices - Further Developments and Improvements", Nucl.Sci.Eng., 65, 161 (1978).
5. M.V.Mataušek, "SPLET-A Programme for Calculating the Space-Lathargy Distribution of Epithermal Neutrons in a Reactor Lattice Cell", IBK-1055.
6. I.Zmijarević, "Određivanje prostorno energetske raspodele rezonantnih neutrona u celiji reaktorske rešetke i proračun rezonantnih integrala", diplomski rad, Elektrotehnički fakultet Univerziteta u Beogradu, 1980.



Slika 1. Dijagram tok-a programa SPLST

PROGRAMME SPLEET: SPICE-LETMARTY DISTRIBUTION OF EPITHERMAL NEUTRONS IN CASE 1

SAMPLE PROBLEM: URANIUM + GRAPHITE CELL

LOWER BOUNDARY OF THE ENERGY RANGE CONSIDERED 1.000 EV
 UPPER BOUNDARY OF THE ENERGY RANGE CONSIDERED 14.000 EV
 LOWER BOUNDARY OF THE LETMARTY RANGE CONSIDERED 13.675
 UPPER BOUNDARY OF THE LETMARTY RANGE CONSIDERED 18.112
 TOTAL NUMBER OF LETMARTY INTEGRATION POINTS 745

NUMBER OF FUEL SURFACES 1
 NUMBER OF MODERATOR SURFACES 1
 FUEL SURFACE RADII (CM) 1.7320
 MODERATOR SURFACE RADII (CM) 7.2000

ENERGY IN EV	LETMARTY	ABSORPTION CROSS SEC. IN FUEL	TOTAL CROSS SEC. IN FUEL	TOTAL CROSS SEC. IN MODERATOR	VOLUME AVERAGED FLUX IN FUEL	VOLUME AVERAGED FLUX IN MODERATOR
1.00000+001	1.34790+001	7.42950+002	9.92372+002	3.85440+001	1.00000+000	1.00000+000
1.19740+001	1.36437+001	3.16458+002	5.72709+002	3.85440+001	9.43030+001	9.99199+001
1.46071+001	1.38110+001	7.24481+002	9.99459+002	3.85440+001	8.77693+001	9.92000+001
1.80799+001	1.39799+001	1.07964+001	1.38115+001	3.85440+001	8.25949+001	9.76112+001
2.17172+000	1.41479+001	1.32700+001	1.77349+000	3.85440+001	2.29916+001	9.41310+001
2.65922+000	1.43240+001	1.63554+001	1.14999+000	3.85440+001	2.46517+001	9.26817+001
3.21238+000	1.44941+001	9.25956+002	1.12260+001	3.85440+001	2.37754+001	9.16124+001
4.00150+000	1.46522+001	4.86930+002	6.96123+002	3.85440+001	8.95997+001	9.06899+001
5.00150+000	1.48102+001	7.46926+002	9.02324+002	3.85440+001	8.99911+001	9.56830+001
3.09525+100	1.49883+001	5.30014+002	7.58711+002	3.85440+001	8.43297+001	9.66346+001
2.61192+002	1.51560+001	2.93493+002	5.15696+002	3.85440+001	9.18034+001	9.61763+001
2.21149+004	1.53241+001	2.97010+002	5.21213+002	3.85440+001	9.16992+001	9.62483+001
1.86937+006	1.54792+001	3.06414+002	5.30195+002	3.85440+001	9.14936+001	9.58953+001
1.59457+006	1.56000+001	3.15577+002	5.42259+002	3.85440+001	9.11810+001	9.57666+001
1.33571+006	1.58286+001	3.84141+002	6.13787+002	3.85440+001	9.08349+001	9.55356+001
1.12957+005	1.59967+001	9.28425+002	1.15731+001	3.85440+001	8.73976+001	9.47942+001

SPATIAL FLUX DISTRIBUTION AT E=6.4629+000EV			SPATIAL FLUX DISTRIBUTION AT E=6.7054+000EV		
RADIUS	FLUX	RADIAL	FLUX	RADIAL	FLUX
1.00060+000	5.83074+005		3.00000+000	1.00000+000	
5.77333+001	5.83074+005		5.77333+001	1.00000+000	
1.15467+000	5.83074+005		1.15467+000	1.00000+000	
1.73200+000	5.81053+005		1.73200+000	9.81220+000	
1.73200+000	5.81053+005		1.73200+000	5.41200+001	
2.62566+000	5.82877+001		2.62566+000	5.53304+001	
3.91972+000	5.35512+001		3.91972+000	9.35684+001	
5.61282+000	5.42027+001		5.61282+000	9.42179+001	
6.10844+000	9.72155+001		6.10844+000	9.72222+001	
7.20000+000	9.76284+001		7.20000+000	9.74456+001	

TOTAL ABSORPTION RATE IN FUEL 1.97317+006 (1.77474*10⁻¹¹)
 TOTAL REACTION RATE IN FUEL 2.14664+002 (1.77474*10⁻¹¹)
 TOTAL REACTION RATE IN MODERATOR 1.56984+002 (1.77474*10⁻¹¹)

RESPONSE INTEGRAL 230 3.37111+000 (4.04M)
 RESPONSE INTEGRAL 230 1.04625+002 (8.04M)